

บทที่ 4
ผลการวิจัย



4.1 รายการรากตัวอย่างและลักษณะทางสัณฐานวิทยาของราที่แยกได้

พบว่า รากของกล้วยไม่ดินที่ศึกษา (ได้แก่ รองเท้านารี กระรอกร่อนนิล และกล้วยไม้ลูกผสมสกุลซิมบีเดียม) มีขดเส้นไขของราหรือ peloton ใน cortical cells เกือบทุกราก ในขณะที่กล้วยไม้ องค์ศัยจะมีราเฉพาะราที่สัมผัสกับวัสดุปูลูกโดยตรง ซึ่งสอดคล้องกับการศึกษา ก่อนหน้านี้ของ Goh et al. (1992) และ Porras-Alfano and Bayman (2007) สำหรับกล้วยไม้ชนิดเดียวกันที่เก็บจากบริเวณเดียวกัน เช่นรา *Rhizoctonia-like* ที่มีลักษณะของโคลินีหรือเส้นไขที่แตกต่างกันจะได้รับรหัสไอโซเลตที่แตกต่างกัน (ดูรหัสไอโซเลตในตารางที่ 4-1) ราเหล่านี้จะถูกเลี้ยงบนอาหาร PDA เพื่อเก็บเส้นไขสำหรับการสกัดดีเอ็นเอ รา *Rhizoctonia-like* ที่แยกได้จากการวิจัยนี้มีจำนวนทั้งสิ้น 27 ไอโซเลต รากตัวอย่างของกล้วยไม้ชนิดเดียวกันอาจให้รา *Rhizoctonia-like* จำนวน 1-3 ไอโซเลต เนื่องจากราไอโซเลต CI-QS-0-1 และ CI-QS-0-2 เจริญเติบโตข้ามกับน้ำหาร PDA (อัตราการเจริญของโคลินี 0.6 มิลลิเมตร/วัน) จึงมีการเติมวิตามินผสมที่ใช้สำหรับอาหาร MS มีรายงานว่า กรดอะมิโนและวิตามิน โดยเฉพาะ thiamine จำเป็นสำหรับการเจริญเติบโตของเอนโดไฟต์กล้วยไม้และรา *Rhizoctonia* (Hadley and Ong 1978; Hijner and Arditti 1973) โคลินีของราไอโซเลต CI-QS-0-1 และ CI-QS-0-2 ที่เลี้ยงบนอาหารที่มีการเติมวิตามิน มีอัตราการเจริญของโคลินีที่ 1.1 และ 1.2 มิลลิเมตร/วัน ตามลำดับ

ผู้วิจัยสามารถจัดกลุ่ม รา *Rhizoctonia-like* บางไอโซเลตตามลักษณะของโคลินีและเส้นไข (ดูภาพที่ 4-1) ได้แก่

(1) Pca-QS-0-1, Pch-QS-0-3, และ Pe-QS-0-1 มีสีโคลินีตั้งแต่เหลืองอ่อน (light buff) ถึงลีสัม มี monilioid cells รูป obovoid, fusiform หรือ irregular ขนาด $5-11 \times 12-27$ ไมโครเมตร ต่อกันเป็นสายสั้น ๆ อาจมีการแตกแขนงหรือไม่มี เส้นไขมีเส้นผ่านศูนย์กลาง 3-4.5 ไมโครเมตร เนื่องจากมีลักษณะคล้ายคลึงกับไอโซเลต *Epulorhiza calendulina-like* ที่รายงานโดย Ma et al. (2003) รากลุ่มนี้จึงอาจเป็น *Epulorhiza calendulina-like Rhizotonia*

(2) D1-KT-TC-1 และ C3-DT-TC-2 เจริญเติบโตข้ามคือตั้งแต่ 2-3 มิลลิเมตรต่อวัน โคลินีอายุ 3 สัปดาห์มีสีขาวถึงสีเทาอ่อน (light beige) ขอบโคลินีไม่สม่ำเสมอ (irregular) เส้นไขมีเส้นผ่านศูนย์กลาง 2-4 ไมโครเมตร monilioid cells รูปรี (ellipsoidal) ขนาด $6-10 \times 8-12$ ไมโครเมตรอาจมีการแตกแขนงหรือไม่มี

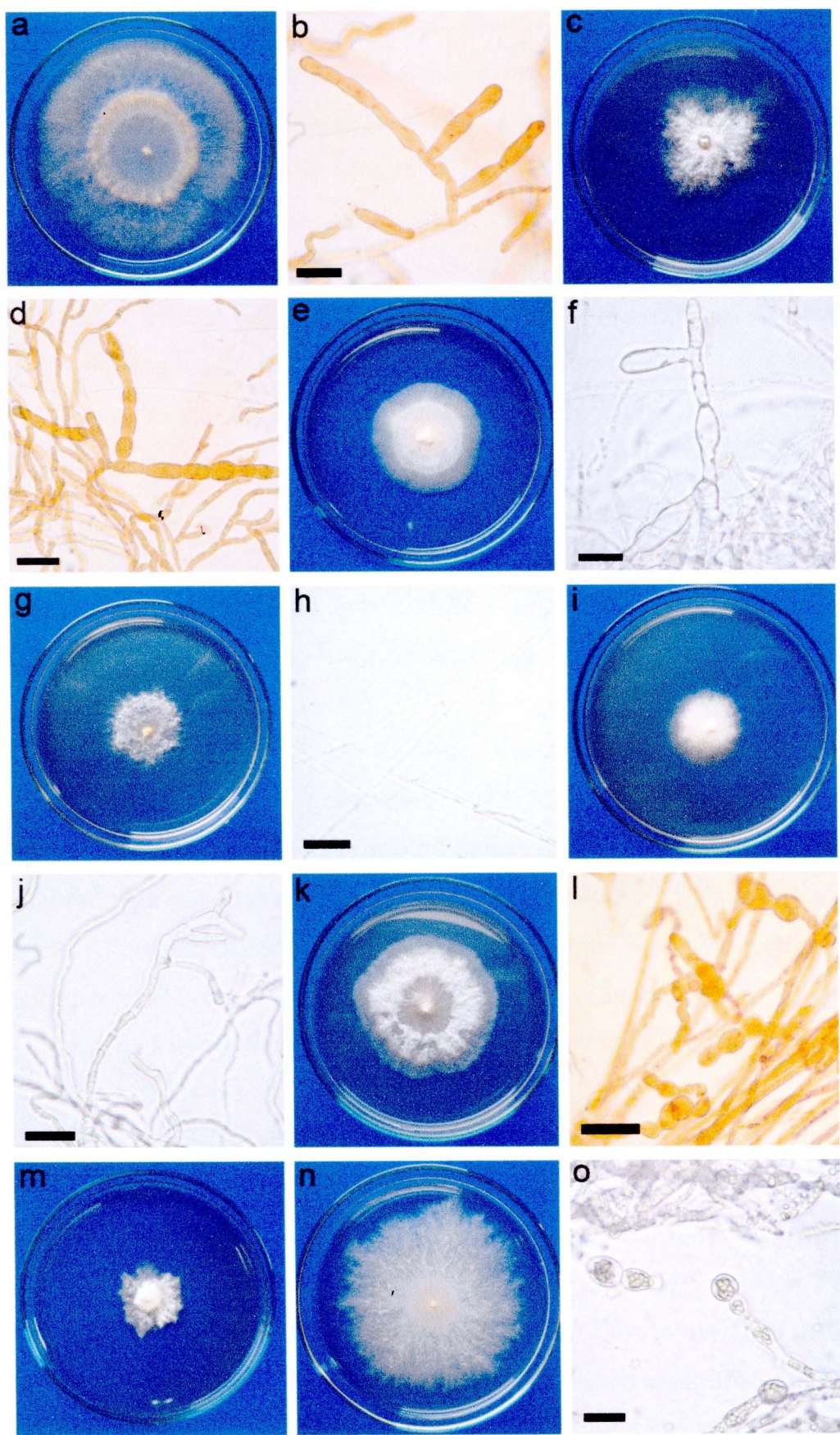
| |
|---------------------------------|
| สำนักงานคณะกรรมการวิจัยแห่งชาติ |
| ห้องสมุดงานวิจัย |
| วันที่..... |
| เลขทะเบียน..... |
| เลขเรียกหนังสือ..... |
| 246853 |

ตารางที่ 4-1 รหัสของไอโซเลตของราชการงานวิจัยนี้และชนิด/ลูกผสมกล้ายไม้ บริเวณที่เก็บตัวอย่างและที่มาตั้งเติมของต้นกล้ายไม้

| รหัสของไอโซเลต ^a | ชนิด/ลูกผสม กล้ายไม้ ^b | บริเวณที่เก็บตัวอย่าง ^c | ที่มาของต้นกล้ายไม้ |
|---|--------------------------------------|------------------------------------|---------------------|
| CI-QS-0-1 , CI-QS-0-2 | CI | QS | 0 |
| Cs-QS-0-1 | Cs | QS | 0 |
| Ct-PC-1-1 | Ct | PC | 1 |
| C1-DT-TC-1 | C1 | DT | TC |
| C2-DT-TC-1 | C2 | DT | TC |
| C3-DT-TC-1, C3-DT-TC-2 | C3 | DT | TC |
| Da-KP-0-1 | Da | KP | 0 |
| Dcr-QS-0-1, Dcr-QS-0-2 | Dcr | QS | 0 |
| Df-QS-3-1 | Df | QS | 3 |
| D1-KT-TC-1 | D1 | KT | TC |
| Pca-QS-0-1 | Pca | QS | 0 |
| Pch-SM-TC-1 | Pch | SM | TC |
| Pch-QS-0-1 , Pch-QS-0-2 , Pch-QS-0-3 | Pch | QS | 0 |
| Pe-QS-0-1 | Pe | QS | 0 |
| Ps-KT-0-1 | Ps | KT | 0 |
| Ps-AT-0-1 , Ps-AT-0-2 | Ps | AT | 0 |
| Pv-PC-2-1, Pv-PC-2-2 | Pv | PC | 2 |
| Pv-PC-1-1 | Pv | PC | 1 |
| Pv-QS-0-1 , Pv-QS-0-2 | Pv | QS | 0 |

^aรหัสของไอโซเลตของรามาก รหัสของชนิด/ลูกผสมกล้ายไม้-รหัสของบริเวณที่เก็บตัวอย่าง-รหัสของที่มาของต้นกล้ายไม้-ลำดับของราทีแยกได้จากการกล้ายไม้ชนิด/ลูกผสมนั้น ๆ ไอโซเลตของราทีมีเครื่องหมาย '*' ในແຕວເດືອກນໍາໝາຍຄືງຖຸກແຍກມາຈາກຮາດເດືອກນໍາ

^bรหัสของชนิด/ลูกผสมกล้ายไม้ รหัสของบริเวณที่เก็บตัวอย่าง และ รหัสของที่มาของต้นกล้ายไม้ ดูตารางที่ 3-1



(ภาพที่ 4-1 ดูคำบรรยายภาพในหน้าถัดไป)

ภาพที่ 4-1 ตัวอย่างโคลนีและลักษณะทางจุลทรรศน์ของรา *Rhizoctonia-like* จากงานวิจัยนี้. a โคลนีของไอโซเลต Pe-QS-0-1 อายุ 14 วัน. b Monilioid cells ของไอโซเลต Pe-QS-0-1 ย้อมด้วย alkaline safranin O. c โคลนีของไอโซเลต D1-KT-TC-1 อายุ 12 วัน. d Monilioid cells ของไอโซเลต C3-DT-TC-2 ย้อมด้วย alkaline safranin O. e โคลนีของ Df-QS-3-1 อายุ 22 วัน. f Monilioid cells ของ Df-QS-3-1. g โคลนีของ CI-QS-0-1 อายุ 18 วัน. h การแตกแขนงของเส้นใยของไอโซเลต CI-QS-0-1. i โคลนีของไอโซเลต CI-QS-0-2 อายุ 18 วัน. j Monilioid cells ของไอโซเลต CI-QS-0-2. k โคลนีของไอโซเลต C1-DT-TC-1 อายุ 13 วัน. l Monilioid cells ของไอโซเลต C1-DTTC-1 ย้อมด้วย alkaline safranin O. m โคลนีของไอโซเลต C2-DTTC-1 อายุ 29 วัน. n โคลนีของไอโซเลต Pv-QS-0-1 อายุ 14 วัน. o Monilioid cells ของไอโซเลต Pv-QS-0-1 Bars มีขนาด 20 ไมโครเมตร

(3) Pv-QS-0-2 และ Df-QS-3-1 มีโคลนีแบน (appressed colony) และขอบจนในวันอาหาร (submerged margin) โคลนี สีขาวถึงเทา (beige) อัตราการเจริญ 1.8-1.9 มิลลิเมตรต่อวัน เส้นใยมีเส้นผ่านศูนย์กลาง 2-4 ไมโครเมตรและมักมี oil globule มี monilioid cells รูป irregular

(4) Cs-QS-0-1, Da-KP-0-1, Dcr-QS-0-1, DCr-QS-0-2, Pch-SM-TC-1, Pch-QS-0-1, Pch-QS-0-2, Ps-KT-0-1, Ps-AT-0-1, Ps-AT-0-2, Pv-PC-2-1, Pv-PC-2-2 และ Pv-PC-1-1 มีลักษณะของ *Epulorhiza repens* คือ เจริญที่ 3-9 มิลลิเมตรต่อวัน สีของโคลนีตั้งแต่ขาวถึงเทา (beige) มีเส้นใยชนิด aerial และ submerged เส้นผ่านศูนย์กลางตั้งแต่ 2-9 มิลลิเมตร โคลนีของไอโซเลต Ps-KT-0-1 และ Dcr-QS-0-2 แสดง concentric zonation มี monilioid cells รูป球形หรือกลม (globose) ขนาด $6-14 \times 10-25$ ไมโครเมตร พบร sclerotia ใน 7 ไอโซเลต

จำนวน 8 ไอโซเลตไม่มีลักษณะทางสัณฐานวิทยาที่สามารถใช้จัดกลุ่มหรือระบุชนิดได้แก่ CI-QS-0-1, CI-QS-0-2, C1-DT-TC-1, C2-DT-TC-1, C3-DT-TC-1, Ct-PC-1-1, และ Pv-QS-0-1 ไอโซเลต CI-QS-0-1 ไม่พบ monilioid cell มีเส้นใยขนาด 1.2-4 ไมโครเมตร ราไอยโซเลต CI-QS-0-2 มีเส้นใยขนาดเล็กมากคือ 1.7-2.4 ไมโครเมตร และมี monilioid cells รูป irregular ที่ปลายของเส้นใยหลัก ราไอยโซเลต C1-DT-TC-1, C2-DT-TC-1 และ C3-DT-TC-1 มีเส้นใยขนาด 3-4 ไมโครเมตร เช่น C3-DT-TC-1 พบร monilioid cells รูป obovate หรือ球形 สายสั้น ๆ ราไอยโซเลต Ct-PC-1-1 ไม่พบ monilioid cell และราไอยโซเลต Pv-QS-0-2 มีอัตราการเจริญที่ 6 มิลลิเมตรต่อวัน เส้นใยมีขนาดเส้นผ่านศูนย์กลาง 2.5-4 ไมโครเมตร มี monilioid cells รูป球形กลมขนาด $9-13 \times 9-18$ ไมโครเมตร รากูกไอโซเลตที่แยกได้จากการวิจัยนี้มีนิวเคลียส 2 นิวเคลียสในเซลล์ บริเวณปลายของเส้นใย

4.2 การสกัดดีเอ็นเอ เทคนิคพีซีอาร์และการวิเคราะห์ลำดับนิวคลีโอไทด์

เนื่องจากรา *Rhizoctonia-like* ที่แยกได้ไม่เจริญเติบโตในอาหารเหลว จึงแก้ปัญหาด้วยการเลี้ยงราบน PDA และเก็บเส้นใยจากโคลินีบัน PDA โดยตรง (ดูหัวข้อ 3.3) พบว่าเส้นใยที่ได้จากวิธีนี้เหมาะสมสำหรับการสกัดดีเอ็นเอด้วยชุดสกัดดีเอ็นเอที่ใช้ แม้ว่า Taylor and McCormick (2008) ได้รายงานว่าสามารถใช้เพرمอร์ ITS1-OF (ได้จากการผสมไฟรเมอร์ ITS1-OF-1 และ ITS1-OF-2) และ ITS4-OF เพิ่มปริมาณราในกลุ่ม Basidiomycota ที่ศึกษาทุกชนิด ผู้วิจัยพบว่า สำหรับราบางไอโซเลต 1) การใช้ไฟรเมอร์ ITS1-OF-1 หรือ ITS1-OF-2 เพียงไฟรเมอร์เดียวและ ITS4-OF และ 2) การใช้ไฟรเมอร์ ITS1-OF-1 และไฟรเมอร์ ITS4 สามารถเพิ่มความเฉพาะเจาะจง และประสิทธิภาพของพีซีอาร์

ลำดับนิวคลีโอไทด์ที่ได้จากการวิจัยนี้ ถูกเก็บใน GenBank Database ภายใต้ accession number GU166403-GU166429 ผลของ BLAST Searches แสดงไว้ในตารางที่ 4-2 การวิเคราะห์ลำดับนิวคลีโอไทด์บริเวณ ITS-5.8S rDNA ยืนยันว่าราไอโซเลต Pca-QS-0-1, Pch-QS-0-3 และ Pe-QS-0-1 คือ *E. calendulina-like* สำหรับราไอโซเลต Pv-QS-0-1 แม้ว่าจะมีลำดับนิวคลีโอไทด์บริเวณ 5.8S rDNA ใกล้เคียงกับ ราชนิด *E. calendulina-like* แต่ลำดับนิวคลีโอไทด์บริเวณ ITS-5.8S rDNA มีความคล้ายคลึงกับราชนิดนี้เพียง 65% ลำดับนิวคลีโอไทด์บริเวณ ITS-5.8S rDNA ของราไอโซเลต D1-KT-TC-1 และ C3-DT-TC-2 มีความคล้ายคลึงกับ *Tulasnella irregularis* 99% และ 100% ตามลำดับ แต่เนื่องจากราหั้งสองไอโซเลตนี้ไม่สร้าง sexual spore จึงน่าจะเป็น anamorph ของ *T. irregularis* ลำดับนิวคลีโอไทด์บริเวณ ITS-5.8S rDNA ของราไอโซเลต Pv-QS-0-2 และ Df-QS-3-1 คล้ายคลึงกับราชนิด *Tulasnella violea* ใน GenBank (accession numbers DQ457643 และ AY373303) มากรีดสุด แต่มี sequence identity เพียง 88% สำหรับราไอโซเลต C1-DT-TC-1, C2-DT-TC-1 และ C3-DT-TC-1 มีลำดับนิวคลีโอไทด์บริเวณ ITS-5.8S rDNA คล้ายคลึงกับลำดับนิวคลีโอไทด์บริเวณ ITS-5.8S rDNA ของราชนิด *T. violea* ที่ 85%, 87% และ 84% ตามลำดับ ในขณะที่ลำดับนิวคลีโอไทด์บริเวณ ITS-5.8S rDNA ของราชนิด *T. violea* สองไอโซเลตใน GenBank ที่รายงานโดยผู้เขียนต่างคงจะมี sequence identity 100% ลำดับนิวคลีโอไทด์บริเวณ ITS-5.8S rDNA ยืนยันว่า ราไอโซเลต Cs-QS-0-1, Da-KP-0-1, Dcr-QS-0-1, DCr-QS-0-2, Pch-SM-TC-1, Pch-QS-0-1, Pch-QS-0-2, Ps-KT-0-1, Ps-AT-0-1, Ps-AT-0-2, Pv-PC-2-1, Pv-PC-2-2 และ Pv-PC-1-1 ที่มีลักษณะทางสัณฐานวิทยาเหมือนกับ *E. repens* และราไอโซเลต Ct-PC-1-1 เป็นราชนิด *E. repens* นอกจากนี้ ไม่พบว่ามีราชนิดใดใน GenBank Database ซึ่งมี ลำดับนิวคลีโอไทด์บริเวณ ITS-5.8S rDNA คล้ายคลึงกับราไอโซเลต CI-QS-0-1 และ CI-QS-0-2

ตารางที่ 4-2 ผลของการ BLAST Searches

| Fungal isolate | Query ^a | Close relative | Percentage identity, Gaps | Reference |
|----------------|--|---------------------------------|---------------------------|---------------------------|
| CI-QS-0-1 | (1) DQ925494 Uncultured Tulasnellaceae | 81% (516/633), Gaps 7% (48/633) | | Shefferson et al. 2007 |
| | (2) AY373316 <i>Tulasnella</i> sp. | 98% (158/160), Gaps 0% (0/160) | | McCormick et al. 2004 |
| CI-QS-0-2 | (1) DQ178072 Uncultured <i>Tulasnella</i> | 83% (504/605), Gaps 6% (39/605) | | Suarez et al. 2006 |
| | (2) DQ457642 <i>Tulasnella pruinosa</i> | 99% (168/169), Gaps 0% (0/169) | | Suarez et al. 2006 |
| Cs-QS-0-1 | (1) DQ313446 <i>Epulorhiza</i> sp. Nq | 98% (167/169), Gaps 0% (0/169) | | Matheny et al. 2006 |
| | (2) EU218888 <i>Tulasnella calospora</i> | 96% (604/628), Gaps 0% (6/628) | | Ma et al. 2003 |
| Ct-PC-1-1 | (1) DQ388045 <i>Tulasnella calospora</i> | 100% (160/162), Gaps 0% (0/160) | | Taylor and McCormick 2008 |
| | (2) EU218888 <i>Tulasnella calospora</i> | 95% (587/615), Gaps 2% (16/615) | | Suarez et al. 2006 |
| C1-DT-TC-1 | (1) DQ457642 <i>Tulasnella pruinosa</i> | 100% (160/160), Gaps 0% (0/160) | | Taylor and McCormick 2008 |
| | (2) DQ457642 <i>Tulasnella pruinosa</i> | 85% (516/607), Gaps 8% (52/607) | | Matheny et al. 2006 |
| C2-DT-TC-1 | (1) DQ388047 <i>Tulasnella asymmetrica</i> | 98% (166/168), Gaps 0% (0/168) | | Matheny et al. 2006 |
| | (2) DQ457642 <i>Tulasnella pruinosa</i> | 87% (482/552), Gaps 5% (29/552) | | Suarez et al. 2006 |
| C3-DT-TC-1 | (1) DQ457642 <i>Tulasnella pruinosa</i> | 98% (166/167), Gaps 0% (0/167) | | Matheny et al. 2006 |
| | (2) DQ457642 <i>Tulasnella pruinosa</i> | 84% (511/603), Gaps 8% (52/603) | | Matheny et al. 2006 |
| C3-DT-TC-2 | (1) EU218889 <i>Tulasnella irregularis</i> | 99% (470/471), Gaps 0% (0/471) | | Taylor and McCormick 2008 |
| | (2) EU218889 <i>Tulasnella irregularis</i> | 100% (156/156), Gaps 0% (0/156) | | Taylor and McCormick 2008 |

^a Query type: (1) ITS-5.8S rDNA; (2) 5.8S rDNA

ตารางที่ 4-2 ผลลัพธ์ BLAST Searches (ต่อ)

| Fungal isolate | Query ^a | Close relative | Percentage identity, Gaps | Reference |
|----------------|--|---------------------------------|---------------------------|-----------|
| Da-KP-0-1 | (1) AJ313446 <i>Epulorhiza</i> sp. Nq | 96% (621/642), Gaps 0% (6/642) | Ma et al. 2003 | |
| | (2) EU218888 <i>Tulasnella calospora</i> | 100% (159/159), Gaps 0% (0/159) | Taylor and McCormick 2008 | |
| Dcr-QS-0-1 | (1) AB369940 <i>Tulasnella calospora</i> | 87% (590/675), Gaps 5% (40/675) | Shimura et al. 2009 | |
| | (2) AB369940 <i>Tulasnella calospora</i> | 99% (159/160), Gaps 0% (0/160) | Shimura et al. 2009 | |
| Dcr-QS-0-2 | (1) DQ388041 <i>Tulasnella calospora</i> | 96% (552/574), Gaps 1% (11/574) | Suarez et al. 2006 | |
| | (2) DQ388041 <i>Tulasnella calospora</i> | 99% (159/160), Gaps 0% (0/160) | Suarez et al. 2006 | |
| Df-QS-3-1 | (1) AY373303 <i>Tulasnella violea</i> | 88% (438/496), Gaps 6% (31/496) | McCormick et al. 2004 | |
| | (2) DQ457642 <i>Tulasnella pruinosa</i> | 98% (167/169), Gaps 0% (0/169) | Matheny et al. 2006 | |
| D1-KT-TC-1 | (1) EU218889 <i>Tulasnella irregularis</i> | 99% (509/512), Gaps 0% (2/512) | Taylor and McCormick 2008 | |
| | (2) EU218889 <i>Tulasnella irregularis</i> | 100% (156/156), Gaps 0% (0/156) | Taylor and McCormick 2008 | |
| Pca-QS-0-1 | (1) AJ313446 <i>Epulorhiza</i> sp. Nq | 96% (604/628), Gaps 0% (6/628) | Ma et al. 2003 | |
| | (2) AJ313459 <i>Epulorhiza</i> sp. H21 | 99% (169/170), Gaps 0% (0/170) | Ma et al. 2003 | |
| Pch-SM-TC-1 | (1) AJ313446 <i>Epulorhiza</i> sp. Nq | 97% (573/586), Gaps 0% (4/586) | Ma et al. 2003 | |
| | (2) DQ388041 <i>Tulasnella calospora</i> | 100% (159/159), Gaps 0% (0/159) | Suarez et al. 2006 | |
| Pch-QS-0-1 | (1) AJ313445 <i>Epulorhiza</i> sp. B1 | 98% (629/637), Gaps 0% (0/637) | Ma et al. 2003 | |
| | (2) EU218888 <i>Tulasnella calospora</i> | 100% (160/160), Gaps 0% (0/160) | Taylor and McCormick 2008 | |

^a Query type: (1) ITS-5.8S rDNA; (2) 5.8S rDNA

ตารางที่ 4-2 ผลของการ BLAST Searches (ต่อ)

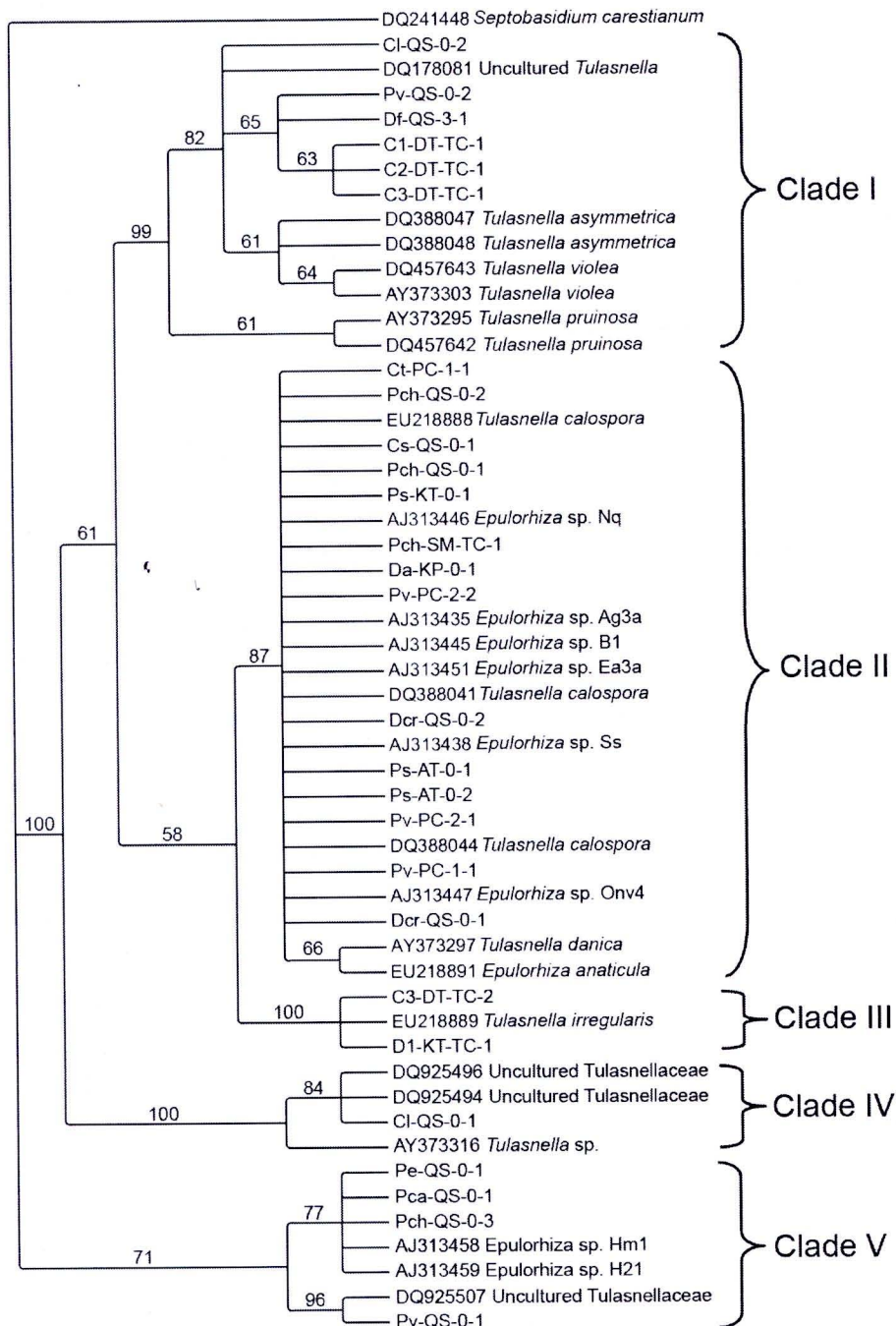
| Fungal isolate | Query ^a | Close relative | Percentage identity, Gaps | Reference |
|----------------|--|----------------|---------------------------------|---------------------------|
| Pch-QS-0-2 | (1) AJ313446 <i>Epulorhiza</i> sp. Nq | | 98% (607/614), Gaps 0% (1/614) | Ma et al. 2003 |
| | (2) EU218888 <i>Tulasnella calospora</i> | | 100% (159/159), Gaps 0% (0/159) | Taylor and McCormick 2008 |
| Pch-QS-0-3 | (1) AJ313458 <i>Epulorhiza</i> sp. Hm1 | | 94% (544/573), Gaps 1% (11/573) | Ma et al. 2003 |
| | (2) AJ313459 <i>Epulorhiza</i> sp. H21 | | 100% (170/170), Gaps 0% (0/170) | Ma et al. 2003 |
| Pe-QS-0-1 | (1) AJ313459 <i>Epulorhiza</i> sp. H21 | | 95% (407/427), Gaps 1% (8/427) | Ma et al. 2003 |
| | (2) AJ313459 <i>Epulorhiza</i> sp. H21 | | 100% (170/170), Gaps 0% (0/170) | Ma et al. 2003 |
| Ps-KT-0-1 | (1) AJ313446 <i>Epulorhiza</i> sp. Nq | | 97% (628/642), Gaps 0% (4/642) | Ma et al. 2003 |
| | (2) EU218888 <i>Tulasnella calospora</i> | | 100% (159/159), Gaps 0% (0/153) | Taylor and McCormick 2008 |
| Ps-AT-0-1 | (1) AY643804.3 <i>Tulasnella calospora</i> | | 96% (566/586), Gaps 1% (7/586) | Bougoure et al. 2005 |
| | (2) AB369939 <i>Tulasnella calospora</i> | | 98% (158/160), Gaps 0% (0/160) | Shimura et al. 2009 |
| Ps-AT-0-2 | (1) AY643804.3 <i>Tulasnella calospora</i> | | 96% (511/527), Gaps 0% (2/527) | Bougoure et al. 2005 |
| | (2) AB369939 <i>Tulasnella calospora</i> | | 98% (157/160), Gaps 0% (0/160) | Shimura et al. 2009 |
| Pv-PC-2-1 | (1) AB369939 <i>Tulasnella calospora</i> | | 98% (634/646), Gaps 1% (8/646) | Shimura et al. 2009 |
| | (2) AB369939 <i>Tulasnella calospora</i> | | 100% (160/160), Gaps 0% (0/160) | Shimura et al. 2009 |

^a Query type: (1) ITS-5.8S rDNA; (2) 5.8S rDNA

ຕາຮາງທີ່ 4-2 ຜລາຂອງ BLAST Searches (ຕ້ອ)

| Fungal isolate | Query ^a | Close relative | Percentage identity, Gaps | Reference |
|----------------|--|---------------------------------|---------------------------|------------------------|
| Pv-PC-2-2 | (1) AJ313445 <i>Epulorhiza</i> sp. B1 | 98% (628/638), Gaps 0% (1/638) | | |
| | (2) DQ388041 <i>Tulasnella calospora</i> | 100% (160/160), Gaps 0% (0/160) | | Ma et al. 2003 |
| Pv-PC-1-1 | (1) AB369939 <i>Tulasnella calospora</i> | 97% (629/645), Gaps 1% (8/645) | | Suarez et al. 2006 |
| | (2) AB369939 <i>Tulasnella calospora</i> | 100% (160/160), Gaps 0% (0/160) | | Shimura et al. 2009 |
| Pv-QS-0-1 | (1) DQ925507 Uncultured Tulasnellaceae | 94% (552/584), Gaps 2% (14/584) | | Shefferson et al. 2007 |
| | (2) DQ925507 Uncultured Tulasnellaceae | 100% (169/169), Gaps 0% (0/169) | | Shefferson et al. 2007 |
| Pv-QS-0-2 | (1) AJ313459 <i>Epulorhiza</i> sp. H21 | 94% (148/157), Gaps 0% (0/157) | | Ma et al. 2003 |
| | (2) DQ457642 <i>Tulasnella pruinosa</i> | 88% (438/497), Gaps 6% (33/497) | | McCormick et al. 2004 |

^a Query type: (1) ITS-5.8S rDNA; (2) 5.8S rDNA



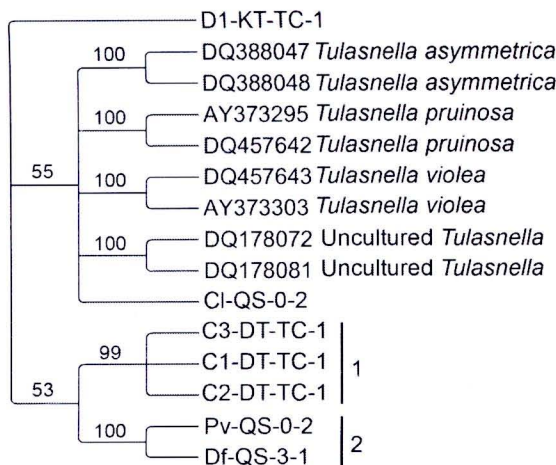
ภาพที่ 4-2 Strict consensus maximum parsimony tree จาก 541 trees (length = 154, CI=0.708, RI=0.943) ของราหงนมดที่ได้จากการวิจัยนี้ การวิเคราะห์ใช้ข้อมูลจากลำดับนิวคลีโอไทด์บีริกเอน 5.8S rDNA และใช้ *Septobasidium carestianum* (GenBank accession number DQ241448) เป็น outgroup taxon ตัวเลขบน branch บ่งบอกถึง nodes ที่มี bootstrap replicates สัมบสนุนมากกว่า 50% จาก 1,000 bootstrap replicates ลำดับนิวคลีโอไทด์ที่ได้จาก GenBank แสดงพร้อมกับ accession number

การวิเคราะห์ maximum parsimony (MP) โดยใช้ข้อมูลลำดับนิวคลีโอไทด์บีรีเวน 5.8S rDNA แบ่งไอโซเลตของราที่ได้จากโครงการวิจัยนี้ออกเป็น 2 กลุ่มหลักและ 5 subclades โดยมีค่า bootstrap สันบสนุนมากกว่า 70% (ภาพที่ 4-2) กลุ่มหลักที่ 1 ประกอบด้วย 4 subclades: Clade I ประกอบด้วยลำดับนิวคลีโอไทด์ของราที่แยกที่ได้จากการวิจัยนี้จำนวน 6 ไอโซเลต และลำดับนิวคลีโอไทด์ของ *T. asymmerica*, *T. violea*, *T. pruinosa* และ *Tulasnella* sp. ที่ได้จาก GenBank, Clade II ประกอบด้วยลำดับนิวคลีโอไทด์ของรา *E. repens* ที่แยกได้จากการวิจัยนี้จำนวน 14 ไอโซเลต ชนิด *E. repens* และ *Tulasnella calospora* ซึ่งเป็น teleomorph ของ *E. repens* ที่ได้จาก GenBank, Clade III ประกอบด้วยลำดับนิวคลีโอไทด์ของราไอโซเลต C3-DT-TC-2, D1-KT-TC-1 และของ *T. irregularis*, Clade IV ประกอบด้วยลำดับนิวคลีโอไทด์ของราไอโซเลต C1-QS-0-1 ราในวงศ์ Tulasnellaceae และ *Tulasnella* sp. กลุ่มหลักที่ 2 ประกอบด้วยลำดับนิวคลีโอไทด์ของไอโซเลต *E. calendulina-like* ที่ได้จากการวิจัยนี้และที่รายงานโดย Ma et al. (2003) และราไอโซเลต Pv-QS-0-1 ราใน Clade V ทั้งหมดที่ได้จากการวิจัยนี้แยกออกจากรากรของกลุ่ยไม้สกุลรองเท้านารีที่เก็บบีรีเวนสวนพฤกษาสตรีสมเด็จพระนางเจ้าสิริกิติ์

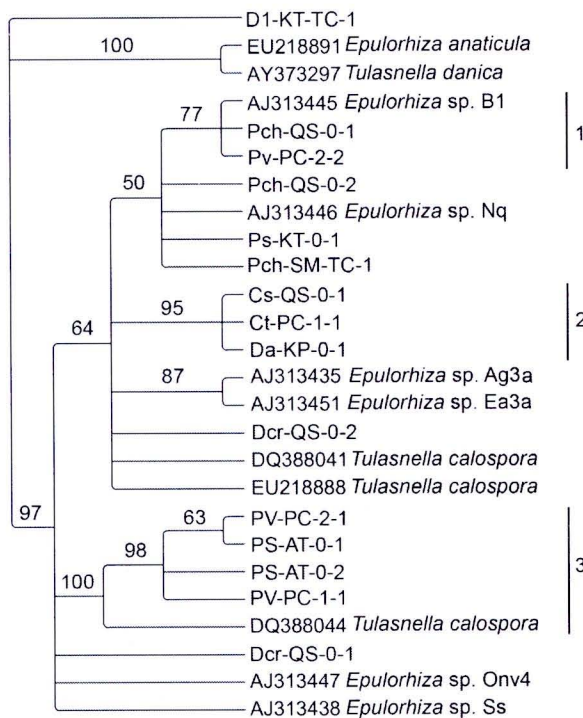
การวิเคราะห์ MP โดยใช้ข้อมูลลำดับนิวคลีโอไทด์บีรีเวน ITS-5.8S rDNA ของสมาชิกของ Clade I ได้ most parsimonious tree 1 tree ที่มี topology เมื่ออนผลจากการวิเคราะห์ MP โดยใช้ข้อมูลลำดับนิวคลีโอไทด์บีรีเวน 5.8S rDNA (ข้อมูลไม่แสดง) การวิเคราะห์ bootstrap โดยใช้ข้อมูลลำดับนิวคลีโอไทด์บีรีเวน ITS-5.8S rDNA แบ่งสมาชิกของ subclade นี้ออกเป็น 2 subgroups โดย subgroup ที่ 1 ประกอบด้วยลำดับนิวคลีโอไทด์ของไอโซเลต CI-QS-0-2 และของ *T. asymmerica*, *T. violea* และ *T. pruinosa* และ subgroup ที่ 2 ประกอบด้วยราไอโซเลตอื่น ๆ จาก Clade I ที่ได้จากการวิจัยนี้ (ภาพที่ 4-3)

การวิเคราะห์ MP และ bootstrap โดยใช้ข้อมูลลำดับนิวคลีโอไทด์บีรีเวน ITS-5.8S rDNA ของสมาชิกของ Clade II แบ่งสมาชิกของ subclade นี้ออกเป็น 2 กลุ่ม กลุ่มที่ 1 ประกอบด้วยลำดับนิวคลีโอไทด์ของ *Epulorhiza anaticula* และ *Tulasnella danica* และกลุ่มที่ 2 ประกอบด้วยลำดับนิวคลีโอไทด์ของ *E. repens* และ *T. calospora* ออยู่อีกกลุ่มหนึ่ง (ภาพที่ 4-4)

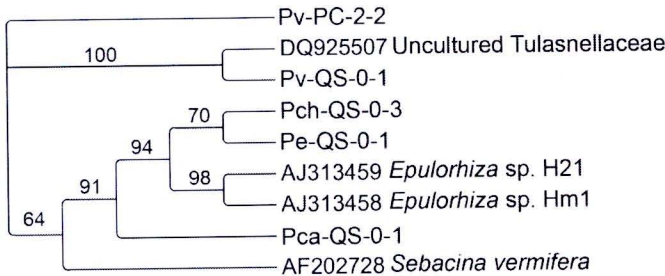
การวิเคราะห์ MP โดยใช้ข้อมูลลำดับนิวคลีโอไทด์บีรีเวน ITS-5.8S rDNA ของสมาชิกของ Clade V ได้ most parsimonious tree 1 tree ซึ่งมี topology สอดคล้องกับการวิเคราะห์ MP โดยใช้ข้อมูลลำดับนิวคลีโอไทด์บีรีเวน 5.8S rDNA และ การวิเคราะห์ bootstrap ไอโซเลต กล่าวคือรวมไอโซเลต Pch-QS-0-3, Pe-QS-0-1 และ Pca-QS-0-1 และไอโซเลต *E. calendulina-like* ของ Ma et al. (2003) ออยู่ในกลุ่มเดียวกัน และแยกไอโซเลต Pv-QS-0-1 ออกไปรวมกับราที่ไม่ได้เพาะเลี้ยงในวงศ์ Tulasnellaceae (accession number DQ925507) (ภาพที่ 4-5)



ภาพที่ 4-3 Fifty percent majority-rule consensus tree ของสมาชิกใน Clade I การวิเคราะห์ใช้ข้อมูลจากลำดับนิวคลีโอไทด์บริเวณ ITS-5.8S rDNA และใช้ลำดับนิวคลีโอไทด์ของไอโซเลต D1-KT-TC-1 เป็น outgroup taxon ตัวเลขบน branch บ่งบอกถึง nodes ที่มี bootstrap replicates สับสนุนมากกว่า 50% จาก 1,000 bootstrap replicates ลำดับนิวคลีโอไทด์ที่ได้จาก GenBank แสดงพร้อมกับ accession number



ภาพที่ 4-4 Fifty percent majority-rule consensus tree ของสมาชิกใน Clade II การวิเคราะห์ใช้ข้อมูลจากลำดับนิวคลีโอไทด์บริเวณ ITS-5.8S rDNA และใช้ลำดับนิวคลีโอไทด์ของไอโซเลต D1-KT-TC-1 เป็น outgroup taxon ตัวเลขบน branch บ่งบอกถึง nodes ที่มี bootstrap replicates สับสนุนมากกว่า 50% จาก 1,000 bootstrap replicates ลำดับนิวคลีโอไทด์ที่ได้จาก GenBank แสดงพร้อมกับ accession number



ภาพที่ 4-5 Strict consensus maximum parsimony tree (length=455, CI=0.878, RI=0.751) ของสมาชิกใน Clade V การวิเคราะห์ใช้ข้อมูลจากลำดับนิวคลีโอไทด์บิเวน ITS-5.8S rDNA และใช้ลำดับนิวคลีโอไทด์ของไอโซเลต Pv-PC-2-2 เป็น outgroup taxon ตัวเลขบน branch บ่งบอกถึง nodes ที่มี bootstrap replicates สนับสนุนมากกว่า 50% จาก 1,000 bootstrap replicates ลำดับนิวคลีโอไทด์ที่ได้จาก GenBank แสดงพร้อมกับ accession number

4.3 การเพาะเมล็ดกลวยไม้โดยการเลี้ยงร่วมกับรา

เมล็ดของกระร่อนนิลและอึ่องสายน้ำเขียวไม่ออกในทุก treatment รวมทั้งบนอาหาร MS ซึ่งอาจเนื่องมาจากการพักตัวของเมล็ด ผลการทดลองจึงแสดงเฉพาะการเพาะเมล็ดของว่านเพชรหิงและอึ่งเงิน

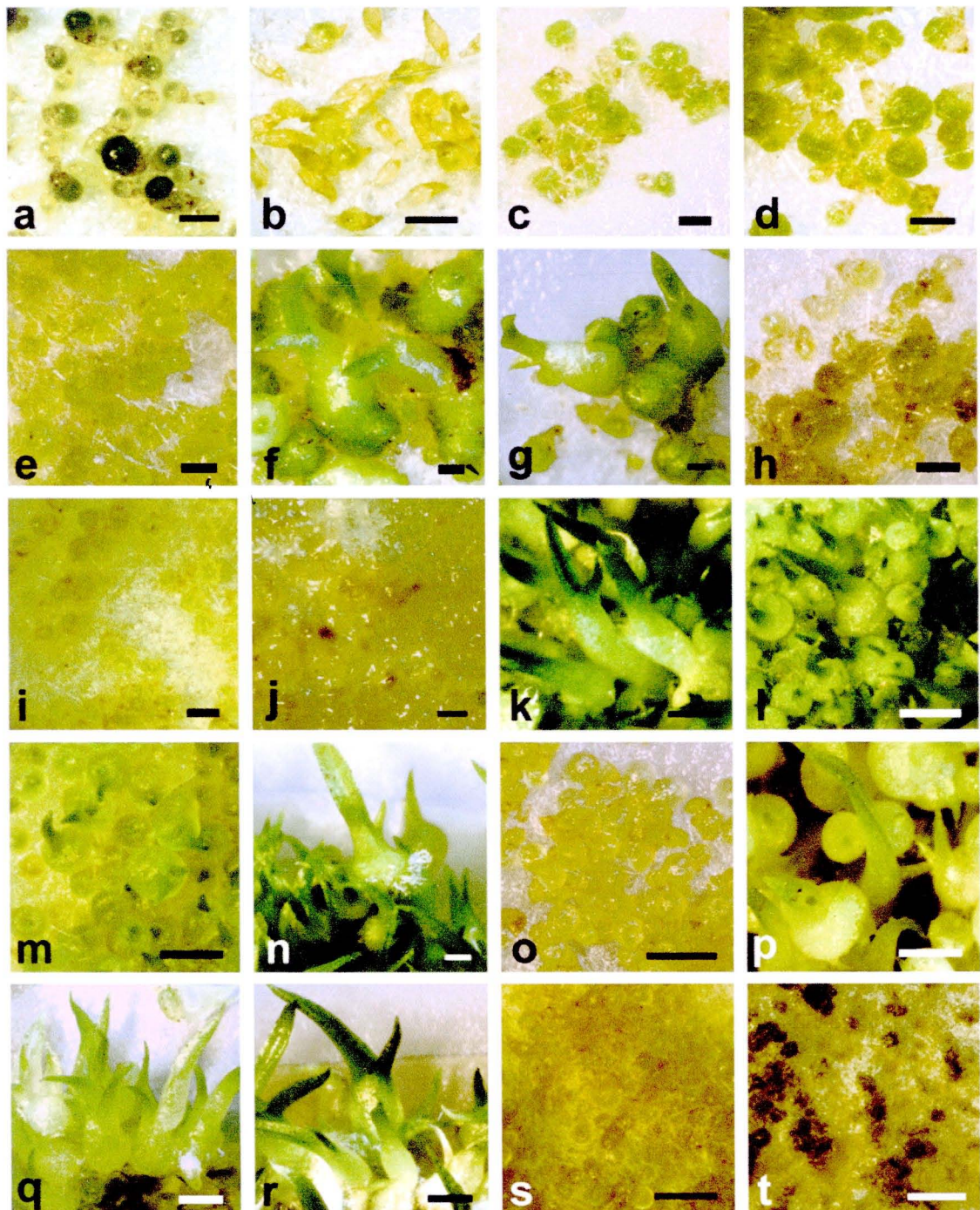
เมล็ดของว่านเพชรหิงที่เลี้ยงบนอาหาร MS และบน OMA ที่มีการปลูกรา ยกเว้นที่เลี้ยงร่วมกับราไอโซเลต Pv-QS-0-1 เริ่มงอกในสัปดาห์ที่ 4-5 ในขณะที่เมล็ดที่เลี้ยงบน OMA ที่ไม่มีการปลูกเชื้อรางอกช้ากว่ามากคือ 10 สัปดาห์หลังการเพาะเมล็ด ที่สัปดาห์ที่ 13 เปอร์เซ็นต์การออกของ treatment ต่าง ๆ ไม่แตกต่างกันอย่างมีนัยสำคัญ เพราะเมล็ดในเกือบทุก treatment มีอัตราการออกเกือบ 100% อย่างไรก็ตาม พบร้า ระยะการเจริญของเมล็ดและ/หรือปรอตโคร์มใน treatment ต่าง ๆ แตกต่างกัน (ดู ตารางที่ 4-3 และภาพที่ 4-6) โดย จากการทดลองนี้พบว่าว่าไอโซเลต Pv-QS-0-1 ไม่ส่งเสริมการออกของเมล็ดกว่าว่านเพชรหิง ในสัปดาห์ที่ 3 ราเจริญปกคลุมเมล็ดทั้งหมดและพับเห็นการย่อยสลายของเมล็ด (ภาพที่ 4-6j)

เมล็ดของอึ่งเงินเกือบ 100% ในทุก treatment ออกในสัปดาห์ที่ 2 หลังจากการเพาะเมล็ด แต่พัฒนาการของเมล็ดและปรอตโคร์มแตกต่างกันไปในแต่ละ treatment ระยะการเจริญของเมล็ดและ/หรือปรอตโคร์มของอึ่งเงินแสดงในตารางที่ 4-4 และภาพที่ 4-6 สำหรับเมล็ดบน OMA ที่ปลูกราไอโซเลต Pv-QS-0-1 แม้ว่าเมล็ดสามารถออก แต่ราได้เจริญปกคลุมเมล็ดและฆ่าเมล็ดในที่สุด (ภาพที่ 4-6t)

ตารางที่ 4-3 ผลของอาหารและไคโโซเลตของราด่อพัฒนาการของเมล็ดและโปรตอคอร์มของว่านเพชรหิงฟื้สปดาห์ที่ 13 หลังการเพาะเมล็ด

| | | เบอร์เซ็นต์ของเมล็ดและ/หรือโปรตอคอร์มที่ระยะ | | | | | | ค่าเฉลี่ยของ ระยะการเจริญ | |
|------------|------|--|------|-------|------|-----|-----|------------------------------|-----|
| Treatment | | 0 | 1 | 2 | 3 | 4 | 5 | | |
| MS medium | Mean | 0.0 | 58.7 | 36.1 | 5.2 | 0.0 | 0.0 | 1.5 | ab |
| | SD | 0.0 | 8.3 | 10.5 | 3.4 | 0.0 | 0.0 | 0.1 | |
| OMA | Mean | 0.0 | 92.9 | 7.1 | 0.0 | 0.0 | 0.0 | 1.1 | a |
| | SD | 0.0 | 10.1 | 10.1 | 0.0 | 0.0 | 0.0 | 0.1 | |
| Pv-QS-0-2 | Mean | 0.0 | 2.7 | 96.7 | 0.7 | 0.0 | 0.0 | 2.0 | abc |
| | SD | 0.0 | 4.6 | 5.8 | 1.2 | 0.0 | 0.0 | 0.0 | |
| C1-DT-TC-1 | Mean | 0.0 | 14.7 | 61.4 | 23.9 | 0.0 | 0.0 | 2.1 | bc |
| | SD | 0.0 | 15.7 | 25.7 | 17.0 | 0.0 | 0.0 | 0.2 | |
| Cs-QS-0-1 | Mean | 11.3 | 47.4 | 33.5 | 7.8 | 0.0 | 0.0 | 1.4 | ab |
| | SD | 14.6 | 41.2 | 38.2 | 13.4 | 0.0 | 0.0 | 0.8 | |
| Da-KP-0-1 | Mean | 0.0 | 46.8 | 7.9 | 39.0 | 3.8 | 2.5 | 2.1 | bc |
| | SD | 0.0 | 40.3 | 6.8 | 29.8 | 3.3 | 4.3 | 0.8 | |
| Pv-PC-1-1 | Mean | 8.9 | 4.7 | 22.6 | 55.2 | 2.8 | 5.7 | 2.6 | c |
| | SD | 15.5 | 4.5 | 17.7 | 13.4 | 3.1 | 7.9 | 0.7 | |
| C3-DT-TC-2 | Mean | 5.0 | 56.9 | 37.0 | 1.1 | 0.0 | 0.0 | 1.3 | ab |
| | SD | 8.7 | 27.6 | 34.7 | 1.3 | 0.0 | 0.0 | 0.4 | |
| Pch-QS-0-3 | Mean | 0.0 | 0.0 | 100.0 | 0.0 | 0.0 | 0.0 | 2.0 | bc |
| | SD | 0.0 | 0.0 | 0.0 | 0.0 | 0.0 | 0.0 | 0.0 | |

Mean และ standard deviation (SD) ของเบอร์เซ็นต์ของเมล็ดและ/หรือโปรตอคอร์มที่เต่าละระยะการเจริญค่าณจากภาพถ่าย 3 ภาพ การเปรียบเทียบค่าเฉลี่ยใช้วิธี Duncan's new multiple range test โดยค่าเฉลี่ยของระยะการเจริญที่ตามด้วยตัวอักษรต่างกันมีความแตกต่างกันอย่างมีนัยสำคัญ ($P=0.05$)



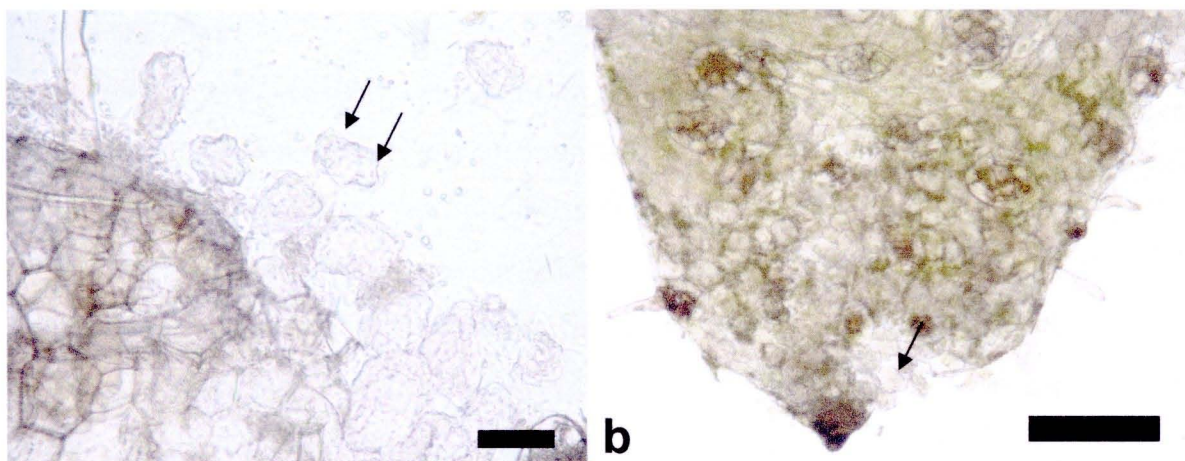
ภาพที่ 4-6 เมล็ดและใบต่อครึ่งของว่านเพชรหิ่ง (a-j) และอีองเงิน (k-t) ในสัปดาห์ที่ 15 บนอาหาร MS (a, k), OMA ที่ไม่มีการปลูกเชื้อ (b, l) หรือ OMA ที่ปลูกกราโนโซเลต Pv-QS-0-2 (c, m), C1-DT-TC-1 (d, n), Cs-QS-0-1 (e, o), Da-KP-0-1 (f, p), Pv-PC-1-1 (g, q), C3-DT-TC-2 (h, r), Pch-QS-0-3 (i, s), or Pv-QS-0-1 (j, t). Bars ใน A-J มีขนาด 0.5 มิลลิเมตร Bars ใน K-T มีขนาด 1 มิลลิเมตร

ตารางที่ 4-4 ผลของอาหารและไออกซิเจตของราตต่อพัฒนาการของเมล็ดและprotoคอร์มของเชื้อองเงินที่สับดาห์ที่ 13 หลังการเพาะเมล็ด

| | | เปอร์เซ็นต์ของเมล็ดและ/หรือprotoconiformที่ระยะ | | | | | | ค่าเฉลี่ยของ | |
|------------|------|---|------|------|------|------|------|--------------|---|
| Treatment | | 0 | 1 | 2 | 3 | 4 | 5 | ระยะการเจริญ | |
| MS medium | Mean | 0.0 | 0.0 | 0.0 | 1.3 | 4.4 | 94.4 | 4.9 | d |
| | SD | 0.0 | 0.0 | 0.0 | 2.2 | 4.3 | 4.9 | 0.1 | |
| OMA | Mean | 0.0 | 0.0 | 0.0 | 54.1 | 43.9 | 2.0 | 3.5 | c |
| | SD | 0.0 | 0.0 | 0.0 | 13.9 | 14.8 | 1.8 | 0.1 | |
| Pv-QS-0-2 | Mean | 0.4 | 0.2 | 12.8 | 86.4 | 0.2 | 0.0 | 2.9 | b |
| | SD | 0.6 | 0.3 | 15.9 | 16.7 | 0.4 | 0.0 | 0.2 | |
| C1-DT-TC-1 | Mean | 0.0 | 0.0 | 0.0 | 6.1 | 24.9 | 69.0 | 4.6 | d |
| | SD | 0.0 | 0.0 | 0.0 | 8.8 | 17.6 | 24.5 | 0.3 | |
| Cs-QS-0-1 | Mean | 0.6 | 16.8 | 82.6 | 0.0 | 0.0 | 0.0 | 1.8 | a |
| | SD | 1.1 | 29.1 | 30.2 | 0.0 | 0.0 | 0.0 | 0.3 | |
| Da-KP-0-1 | Mean | 0.0 | 0.0 | 32.1 | 57.5 | 9.6 | 0.8 | 2.8 | b |
| | SD | 0.0 | 0.0 | 28.1 | 36.3 | 8.6 | 0.9 | 0.2 | |
| Pv-PC-1-1 | Mean | 0.0 | 0.0 | 0.0 | 2.5 | 5.6 | 91.9 | 4.9 | d |
| | SD | 0.0 | 0.0 | 0.0 | 4.3 | 9.8 | 14.0 | 0.2 | |
| C3-DT-TC-2 | Mean | 0.0 | 0.0 | 0.0 | 0.3 | 4.5 | 95.2 | 4.9 | d |
| | SD | 0.0 | 0.0 | 0.0 | 0.5 | 7.8 | 8.4 | 0.1 | |
| Pch-QS-0-3 | Mean | 0.0 | 37.6 | 62.4 | 0.0 | 0.0 | 0.0 | 1.6 | a |
| | SD | 0.0 | 37.1 | 37.1 | 0.0 | 0.0 | 0.0 | 0.4 | |

Mean และ standard deviation (SD) ของเบอร์เซ็นต์ของเมล็ดและหิรือprotozoaที่แต่ละระยะการเจริญคำนวณจากภาพถ่าย 3 ภาพ การเปรียบเทียบค่าเฉลี่ยใช้วิธี Duncan's new multiple range test โดยค่าเฉลี่ยของระยะการเจริญที่ตามด้วยตัวอักษรต่างกันมีความแตกต่างกันอย่างมีนัยสำคัญ ($P=0.05$)

การตรวจสอบprotoคอร์มของว่านเพชรหิ่งภายใต้กล้องจุลทรรศน์ไม่พบ peloton ในprotoคอร์มที่เลี้ยงบนอาหาร MS อาหาร OMA ที่ไม่มีการปลูกเชื้อ หรืออาหาร OMA ที่มีการปลูกเชื้อราไอโซเลต Pv-QS-0-1 และพบ peloton จำนวนมากในเมล็ดและ/หรือprotoคอร์มที่เลี้ยงร่วมกับเชื้อราไอโซเลต Pv-QS-0-2, C1-DT-TC-1, Cs-QS-0-1, Da-KP-0-1, Pv-PC-1-1, หรือ C3-DT-TC-2 (แสดงตัวอย่างของprotoคอร์มที่มี peloton ในภาพที่ 4-7a) protoคอร์มที่เลี้ยงร่วมกับราไอโซเลต Pch-QS-0-3 จำนวนมากไม่พบ peloton มีเพียงprotoคอร์มจำนวน 2 protoคอร์มที่พบ peloton จำนวน 1-2 peloton การตรวจสอบprotoคอร์มของเชื้องเงินไม่พบ peloton ใน protoคอร์มที่เลี้ยงบนอาหาร MS อาหาร OMA ที่ไม่มีการปลูกเชื้อ หรืออาหาร OMA ที่มีการปลูกเชื้อราไอโซเลต Pv-QS-0-1 หรือไอโซเลต Pch-QS-0-1 และพบ peloton จำนวนมากในเมล็ดและ/หรือprotoคอร์มที่เลี้ยงร่วมกับเชื้อราไอโซเลต Pv-QS-0-2, C1-DT-TC-1, Cs-QS-0-1, Da-KP-0-1, Pv-PC-1-1 หรือ C3-DT-TC-2 (แสดงตัวอย่างของprotoคอร์มที่มี peloton ในภาพที่ 4-7b)



ภาพที่ 4-7 Peloton (ลูคิฟาร์) ในprotoคอร์มของว่านเพชรหิ่ง (a) และเชื้องเงิน (b) ที่เลี้ยงร่วมกับราไอโซเลต C1-DT-TC-1. Bar ใน a มีขนาด 50 ไมโครเมตร และใน b มีขนาด 0.2 มิลลิเมตร

